

## مطالعه کانی‌سازی سرب و روی در معدن باریک آب، شمال ابهر

کیمیا سادات عجایی

گروه زمین‌شناسی، واحد علوم و تحقیقات، دانشگاه آزاد اسلامی، تهران، ایران

/ / :

/ / :

چکیده

**مقدمه:** معدن سرب و روی باریک آب در شمال شرقی شهرستان ابهر (استان زنجان) واقع شده است. از نظر زمین‌شناسی ساختمند این محدوده در زون ساختاری البرز - آذربایجان قرار گرفته است. مهمترین و اصلی‌ترین سنگ‌های محدوده معدن توف‌های برشی (متعلق به سازند کرج) و گدازه‌های ریولیتی و داسیتی هستند.

**هدف:** بررسی ارتباط کانی‌سازی سرب و روی با توده نفوذی هم‌جوار آن، بررسی روند کانی‌سازی در این معدن، تعیین انواع دگرسانی‌ها و منشأ کانسار هدف این مطالعه می‌باشد.

**روش بررسی:** پس از مطالعات صحرایی، بررسی داده‌های ماهواره‌ای، مطالعات آزمایشگاهی با مطالعه ۳۵ مقطع نازک و صیقلی جهت تعیین سنگ‌شناسی و کانی‌سازی و سپس انجام آنالیزهای مربوط به عناصر اصلی و کمیاب از نمونه‌ها جهت تعیین عیار انجام شده است.

**نتایج:** براساس مطالعات انجام شده کانی‌سازی به صورت پرکننده فضای خالی و پراکننده در سنگ دربرگیرنده در غالب کانی‌های گالن و اسفلالیت و سایر کانی‌های همراه از جمله پیریت و کالکوپیریت می‌باشد و عیار متوسط سرب حدود ۸ درصد و روی ۳/۵ درصد و میزان متوسط مس موجود در نمونه‌ها ۲ درصد می‌باشد. در همراهی با گالن حضور ترائدریت نیز به اثبات رسیده است. همچنین میزان طلا و نقره در نمونه‌ها به ترتیب حدود ۹۱۸ ppm و ۴۱۹ ppm می‌باشد.

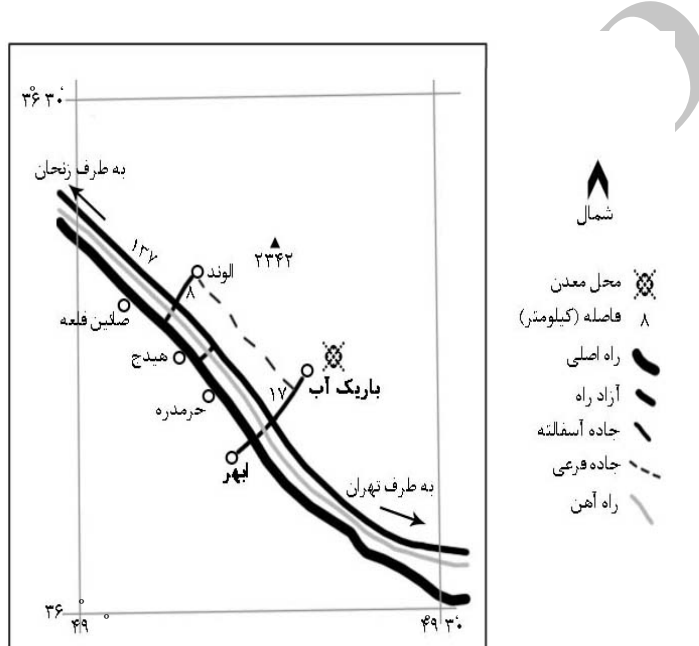
**نتیجه‌گیری:** براساس مطالعات انجام شده، توده‌های نفوذی درونی و نیمه عمیق در فاز کششی الیگوسن به عنوان یک موتور حرارتی و عامل به حرکت درآوردن سیالات گرمابی در منطقه عمل نموده‌اند. معدن مورد نظر با مدل توصیفی کانسارهای پلی متالیک تیپ رگه‌ای همخوانی دارد.

## واژه‌های کلیدی : سرب و روی، باریک آب، ابهر، پلی متال

### مقدمه

معدن سرب و روی باریک آب در شمال شهرستان ابهر و در طول جغرافیایی "۴۹°، ۱۸'، ۲۱'" شرقی و عرض "۳۶°، ۱۶'، ۴۶'" شمالی واقع شده است. راه دسترسی به این معدن از آزاد راه قزوین - زنجان از کنار مجتمع سبزه دشت می‌باشد (شکل شماره ۱). منطقه مورد مطالعه در نقشه ۱/۱۰۰۰۰۰ ابهر و ۱/۲۵۰۰۰۰ زنجان قرار دارد.

هدف از انجام این مطالعه بررسی ارتباط کانی‌سازی سرب و روی با توده نفوذی همچووار آن، بررسی روند کانی‌سازی در این معدن و نیز تعیین انواع دگرگانی‌ها و مدل منشأ کانسار می‌باشد.



شکل ۱- راه‌های ارتباطی

### تاریخچه مطالعات پیشین

سازمان زمین‌شناسی کشور مطالعاتی پیرامون کانسارهای سرب و روی و مس در این منطقه و نیز به‌طور کلی منطقه طارم از سال ۱۹۶۲ تا ۱۹۷۲ انجام داده است که اکثر گزارش‌های آن موجود می‌باشد.<sup>(۱)</sup> پیروان مطالعاتی بر روی سنگ‌های آذرین درونی منطقه (پتروگرافی و پترولوزی) در قالب رساله کارشناسی ارشد در سال ۱۳۷۱ ارائه داده است.<sup>(۲)</sup> جعفری رساله دکتری خود را در سال ۱۳۷۹ تحت عنوان زمین‌شناسی اقتصادی گستره ابهر ارائه نموده است.<sup>(۳)</sup>

این معدن در اوایل دهه پنجاه فعال بوده است و در سال ۱۳۸۰ شرکت‌های وابسته به شرکت سرب و روی در معادن منطقه جهت بهره‌برداری روی فعالیت‌های اکتشافی مقدماتی داشته‌اند.

## مواد و روشها

پس از مطالعات صحرایی، نقشه زمین‌شناسی با مقیاس ۱/۲۰۰۰۰ از محدوده مطالعه تهیه شده است (شکل ۲).<sup>(۱)</sup> سپس مطالعات ماهواره‌ای جهت تعیین مناطق دگرسانی در محدوده مورد نظر انجام گردید. از حدود ۸۰ نمونه برداشت شده، حدود ۲۰ نمونه جهت مطالعات پتروگرافی و ۳۵ نمونه جهت بررسی دگرسانی و ۲۵ نمونه از رگه‌ها جهت مطالعه کانی‌سازی برداشت و مطالعه شدند.

مطالعات آزمایشگاهی با مطالعه ۳۵ مقطع نازک و صیقلی جهت تعیین سنگ‌شناسی و کانی‌سازی و سپس جهت انجام آنالیزهای مربوط به عناصر اصلی و کمیاب (فلوئورسانس و دیفراکسیون پرتو ایکس) که در آزمایشگاه کانساران بینالود انجام پذیرفته است و جذب اتمی انجام شده توسط شرکت کانپژوه از نمونه‌های پرعيار استفاده شده است.

## نتایج و بحث

### زمین‌شناسی منطقه

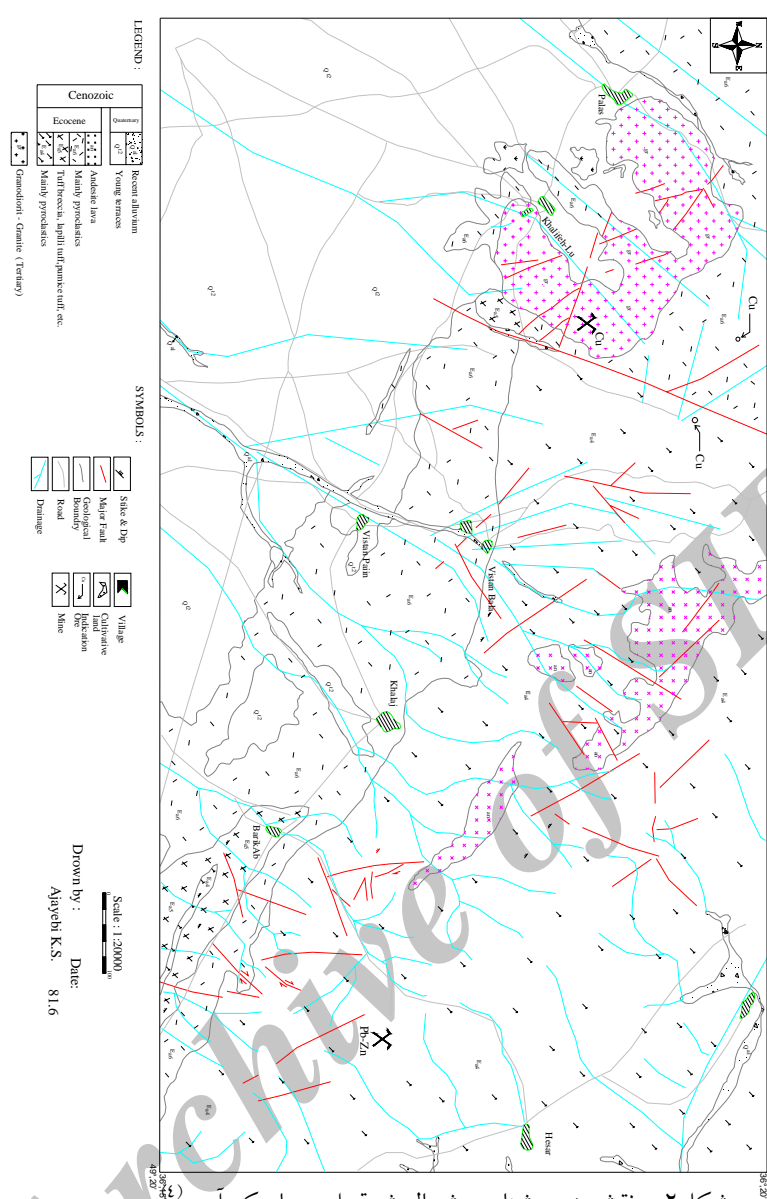
با توجه به نقشه زمین‌شناسی تهیه شده با مقیاس ۱/۲۰۰۰۰ (شکل ۲)، در این محدوده از نظر زمین‌شناسی فقط واحدهای توفی سازند کرج، توده نفوذی الوند، رخنمون پراکنده‌ای از آندزیت‌ها و نیز واحدهای کواترنری مشاهده شده‌اند.

- توده نفوذی الوند: ترکیب توده نفوذی از دیوریت تا گرانیت آلکالن متغیر می‌باشد. وجود بافت‌های پرتیتی، گرانوفیری و گرافیکی مؤید جایگیری توده در نواحی کم عمق می‌باشد. همچنین به دلیل این که این توده‌ها واحدهای ائوسن سازند کرج را قطع کرده‌اند می‌توانند سنی در حد ائوسن و یا جوان‌تر داشته باشند.<sup>(۱)</sup> عضو آمند از سازند کرج به سن ائوسن (Ea) با چهار واحد در محدوده مطالعه رخنمون دارد. واحدهای چهار، پنج و شش که به ترتیب شامل:

واحد چهارم از عضو آمند (Ea4): این واحد به صورت یک کمپلکس می‌باشد که شامل گدازه‌های آندزیتی، ریولیت، داسیت، توف برش، توف معمولی، ماسه سنگ توفی است. این لایه‌ها به صورت متناوب نسبت به هم قرار گرفته‌اند.

واحد پنجم از عضو آمند (Ea5): این واحد نیز شامل توف و گدازه‌های با ترکیبی مشابه عضو آمند می‌باشد. واحد ششم از عضو آمند (Ea6): این واحد شامل ماسه سنگ‌های ریزدانه و تناوبی از گدازه‌های آندزیتی و ریولیتی می‌باشد.

واحدهای کواترنری شامل رسوبات آهکی، رسوبات منفصل و تراس‌های آبرفتی متشكل از قطعات سنگی سازند کرج و توده‌های نفوذی و مخروطهای افکنه و نهشته‌های آبرفتی دوره کواترنری می‌باشد.



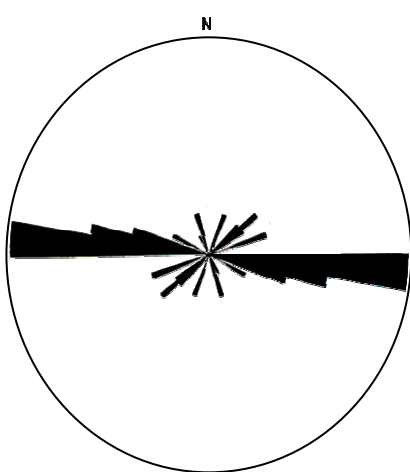
Geological Map Of North Of Abhar Area

شکل ۲ - نقشه زمین‌شناسی شمال شرق ابهر، باریک آب

### زمین‌شناسی ساختمانی

براساس تقسیم‌بندی نبوی (۱۳۵۵) در زون البرز-آذربایجان (البرز غربی) قرار دارد.

از نظر زمین‌شناسی ساختمانی منطقه مورد مطالعه از شمال به گسل سفیدرود، از جنوب به گسل تبریز-سلطانیه- تاکستان و از باختر به گسل آستارا- مریوان محدود می‌شود. روند اصلی ساختارهای منطقه از روند اصلی زون طارم تبعیت می‌کند و نقش این ساختهای تکتونیکی در جایگیری توده‌های نفوذی، کانی‌سازی و دگرسانی حائز اهمیت می‌باشد. به طورکلی سه روند ساختاری شمال غرب-جنوب شرق، شرقی-غربی و شمالی جنوبی در منطقه حاکم هستند. دیاگرام گل سرخی بر اساس درزهای برداشت شده در محدوده معدن رسم شده که در آن روند غالب، روند شرقی - غربی می‌باشد (شکل ۳). همچنین اکثر کانی‌سازی‌های منطقه با روند شرقی - غربی مشاهده می‌شوند.

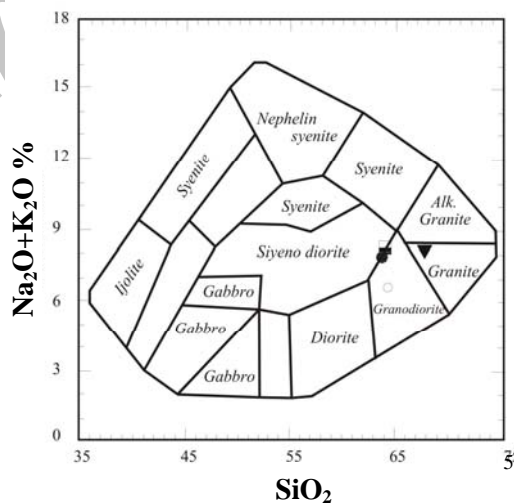


شکل ۲- نمودار گل سرخی مربوط به درزهای برداشت شده روند اصلی کانی‌سازی شرقی - غربی می‌باشد<sup>(۴)</sup>.

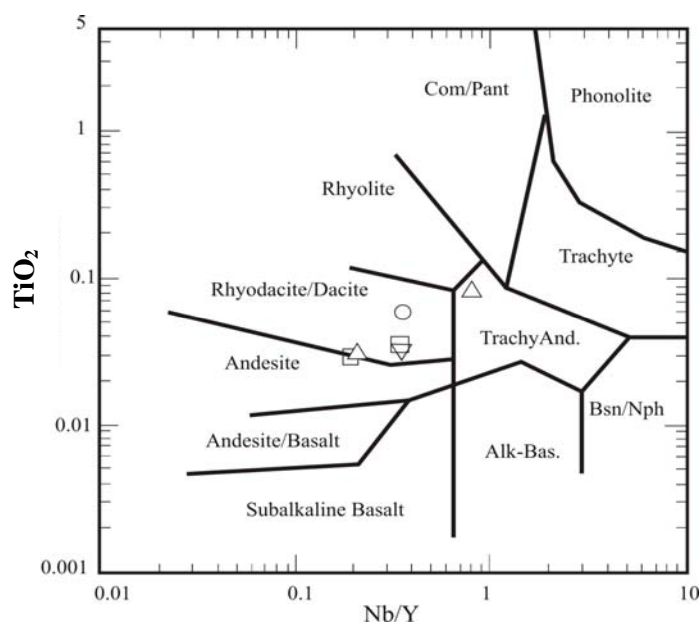
#### مطالعات سنگ شناسی

در طبقه‌بندی شیمیایی سنگ‌های نفوذی منطقه، با توجه به طبقه‌بندی کاکس و همکاران<sup>(۴)</sup> سنگ‌ها در محدوده گرانیت، کوارتز دیوریت و سینودیوریت‌ها قرار می‌گیرند (شکل ۴). لازم به ذکر است تعداد نمونه‌های ترسیم شده در نمودارها، محل قرارگیری بیشترین تجمع نمونه‌ها را جهت جلوگیری از شلوغ شدن نمودار نشان می‌دهد. جدول ۱ چند نمونه از آنالیزهای مربوط به نمونه‌های نفوذی می‌باشد.

سنگ‌های آتشفسانی علاوه بر تقسیم‌بندی کاکس و همکاران، براساس طبقه‌بندی پیرس و کن<sup>(۵)</sup> نیز در محدوده ریوداسیت، آندزیت و تراکی‌آندزیت‌ها قرار می‌گیرند (شکل ۵). جدول ۲ چند نمونه از آنالیزهای مربوط به نمونه‌های آتشفسانی می‌باشد.



( )



شکل ۵- رده بندی سنگ‌های آتشفشاری، اقتباس از پرس و کن (۱۹۷۳)<sup>(۵)</sup>

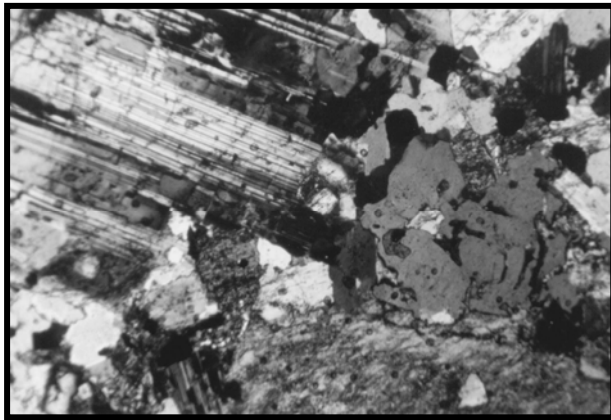
جدول ۱- نتایج آنالیز تعدادی از نمونه‌های توده‌های نفوذی منطقه مورد مطالعه<sup>(۶)</sup>

	Sample code					
	K1	A1	A2	A3	A6	A8
SiO <sub>2</sub>	۷۷/۶۷	۶۴/۳۹	۶۴/۰۵	۸۰/۰۹	۸۰/۵۲	۸۱/۸۸
Al <sub>2</sub> O <sub>3</sub>	۱۳/۷۴	۱۳/۷۶	۱۴/۷۱	۴/۸۰	۴/۲۹	۳/۶۱
Fe <sub>2</sub> O <sub>3</sub>	۳/۵۱	۴/۴۸	۴/۳۳	۶/۲۵	۵/۰۲	۵/۶۰
CaO	۲/۴۷	۴/۲۳	۲/۷۹	۱/۳۱	۳/۶۲	۰/۱۱
Na <sub>2</sub> O	۲/۷۸	۲/۴۱	۲/۴۰	۰/۲۷	۰/۱	۰/۰۱
MgO	۰/۰۵	۱/۵۷	۰/۸۴	۱/۰۱	۰/۲۶	۰/۰۱
K <sub>2</sub> O	۵/۸۲	۴/۱۶	۵/۸۴	۰/۰۳	۰/۴۳	۰/۴۰
TiO <sub>2</sub>	۰/۴۶۸	۰/۶۴۱	۰/۰۵۳	۱/۰۰۳	۰/۰۷۵	۰/۰۸۴
MnO	۰/۱۸۰	۰/۲۷۹	۰/۰۲۰	۰/۵۸۱	۰/۰۲۱	۰/۰۱۳
P <sub>2</sub> O <sub>5</sub>	۸۸۰	۵۱۲	۷۵۰	۲۳۶	۸۰	۷۷
Cl	۷	۲۱۶	۷	۸	۴۳۰۹	۸۸۸۷
S	۷	۲۱۶	۷	۸	۲۹	۲۱
Rb	۲۷۸	۵۱۲	۳۳۵	۱۷۷	۴۰	۱۷
Sr	۶۱	۱۰۸	۷۳	۱۹۱	۲۵	۳۳
V	۰/۱	۰/۱	۰/۱	۰/۱	۰/۱	۰/۱
W	۰/۱	۰/۱	۰/۱	۰/۱	۰/۱	۰/۱
Y	۴۳	۳۱	۳۹	۳۱	۱۳	۹
Zr	۲۷۴	۲۴۴	۳۲۵	۴۸۶	۸	۱۳
Zn	۸۵	۵۴	۱۰۳	۶۲	۸۷	۲۹
Mo	۱	۱	۱	۱	۱	۳
As	۷۰	۷۹	۷۱	۸۸	۲۳۱	۱۹
Ba	۴۱۰	۴۷۲	۴۶۹	۹۸	۴۶۷	۱۱
Co	۷	۲۳	۱۴	۲۳	۱۸	۱۸
Cr	۱	۶	۲	۱	۳	۶
Cu	۳۸	۶	۴۸	۴۱	۹۹۰۲	۴۵۶۵۴
Nb	۱۰	۱۰	۱۹	۶۱	۲	۲
Ni	۱	۱۴	۱۰	۱۸	۱۰	۲
Pb	۱۱۴	۲۶	۴۷	۷۲	۱۸۸	۲۲
U	۴	۱	۲	۵	۳	۲
Th	۲۱	۷	۱۷	۱۹	۳۴۹	۳

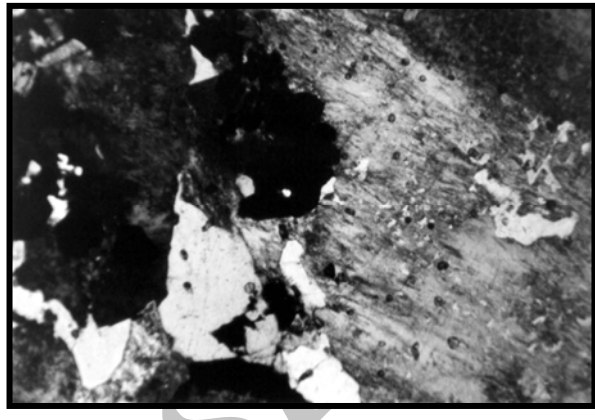
جدول ۲- نتایج آنالیزهای مربوط به نمونهای آتشفشاری<sup>(۲)</sup>

	Sample Code					
	T2B	T2B3	T4B1	T5B	B8	B9
Si	۶۳/۵۱	۵۹/۹۱	۵۸/۶۰	۷۴/۴۴	۶۸/۳۷	۶۰/۷۲
O <sub>2</sub>						
Al <sub>2</sub>	۱۴/۶۲	۱۶/۴۴	۴/۲۶	۱۴/۲۷	۱۴/۲۳	۱۴/۷۶
O <sub>3</sub>						
Fe <sub>2</sub>	۳/۲۱	۳/۵۳	۱/۹۴	۱/۲۵	۱/۲۹	۵/۸۳
O <sub>۳</sub>						
Ca	۱/۵۷	۵/۴۴	۱/۵۸	۱/۳۷	۱/۵۴	۱/۸۲
O						
Na <sub>2</sub>	۰/۹۱	۱/۱۸	۱/۱۶	۰/۱۰	۰/۹۳	۰/۴۴
O	%					
Mg	۰/۰۵	۱/۱۸	۲/۸۷	۰/۶۳	۰/۳۶	۰/۳۱
O						
K <sub>2</sub>	۹/۴۲	۷/۸۶	۰/۰۹	۴/۴۴	۷/۳۸	۹/۹۹
O						
Ti	۰/۶۰	۰/۶۲	۰/۰۳	۰/۲۲	۰/۳۸	۰/۶۴
O <sub>2</sub>						
Mn	۰/۱۳	۰/۸۳	۰/۴۷	۰/۱۹	۰/۰۸	۰/۲۲
O						
P <sub>2</sub>	۰/۱۲	۰/۱۲	۰/۰۱	۰/۰۳	۰/۰۹	۰/۱۳
O <sub>۵</sub>						
Cl	۷۶	۷۶	۲۵۲	۵۳	۵۳	۱۲۱
S	۳۳۰۱	۳۱۶۹	۳۴۸۷۴	۵۷۱	۸۲۸	۹
Rb	۲۲۷	۱۶۷	۱۴	۱۰۴	۱۶۶	۳۰۷
Sr	۱۲۰	۸۵	۲۶	۵۴	۹۹	۱۲۰
V	۱۱۲	۹۵	۲۷	۳۷	۵۳	۱۳۲
W	۰/۹۰	۱۲	۹/۰۹	۲	۰/۰۹	۰
Y	۳۳	۲۸	۱۴	۲۵	۲۵	۴۱
Zr	۱۹۲	۲۰۳	۱۱	۱۹۶	۲۱۷	۱۸۹
Zn	۸۹	۶۸	۸۵۳۸۶	۱۸۱	۱۰۰	۱۸۵
Mo	۲	۱	۴	۱	۱	۲
As	۲۵۸	۳۵	۷	۱۴۱	۵۵	۲۷
Ba	۷۴۷	۶۲۰	۱۰	۳۵۷	۷۲۰	۱۱۶۶
Co	۴۲	۱۳	۲۲	۴	۴	۷
Cr	۳	۲	۹	۲	۱	۱
Cu	۳۰۸	۱۵	۰۰۲	۱۰۳	۱۰	۵۴
Nb	۷	۱۰	۰	۲۰	۹	۸
Ni	۱۹	۱	۱۹	۱۳	۲	۲۴
Pb	۱۹۸	۵۶	۳۷۲۱۲	۲۰۹	۲۴۱	۱۲۹
U	۳	۱	۱	۱	۳	۳
Th	۱۰	۷	۱۱۰	۸	۷	۳

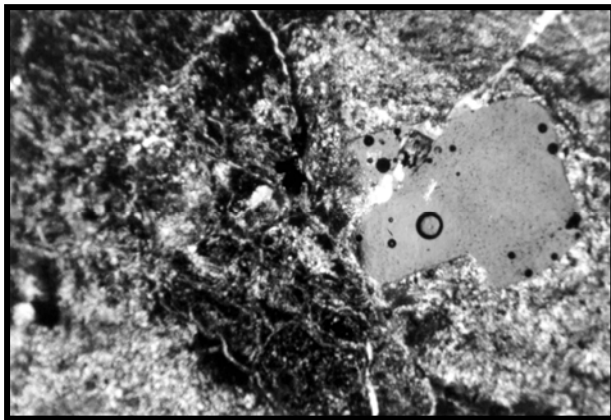
با مطالعه مقاطع نازک سنگ‌های محدوده معدن نیز تراکیت، آندزیت تا داسیت، ریوداسیت، ریولیت، و نیز کریستال توف و توف‌های اسیدی را نشان می‌دهد که اکثراً متعلق به سازند کرج می‌باشند. در تصاویر ۶ تا ۹ چند نمونه از مقاطع نازک ارائه شده‌اند.



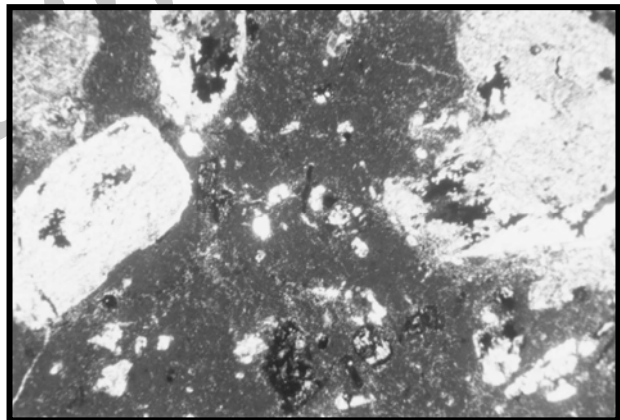
شکل ۷- کوارتز مونزونیت با نشانه پلاژیوکلاز در سمت چپ شکل،  $\times 33$ .



شکل ۶- مقطع نازک کوارتز آکالی سینیت، پرتیت با دخال‌های کوارتز در سمت راست شکل مشخص می‌باشد،  $\times 33$ .



.  
.



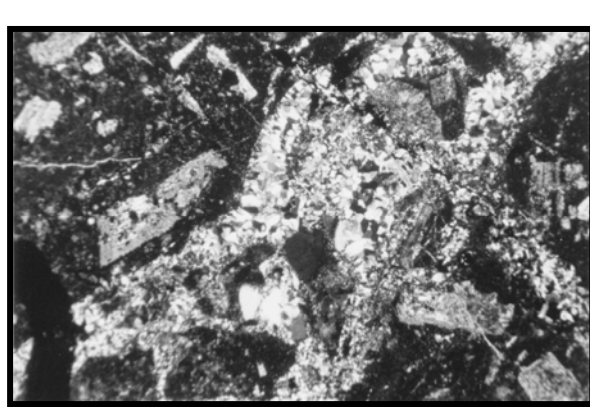
شکل ۸- تراکیت، فلدسپات با هاله بیرونی در زمینه شیشه،  $\times 33$ .

### دگرسانی

بر اساس اطلاعاتی که از مطالعه تصاویر ماهواره‌ای منطقه (لندهت TM ترکیب باندی ساینس) به دست آمده است، نواحی دگرسانی رسی و اکسید آهن مشخص گردیدند (این نواحی در تصویر حاصل از این ترکیب باندی به رنگ سبز روشن تا سبز مایل به زرد ظاهر می‌گردند).

با تمرکز و بررسی بیشتر نقاط تعیین شده، در منطقه معدن عدسی‌های نسبتاً وسیعی از دگرسانی آرژیلیک در سطوح تراز مختلف شناسایی شدند (شکل ۱۰) که مطالعات مقاطع نازک و آنالیزهای دیفراکتومتری اشعه ایکس (X-ray diffraction) نشان می‌دهند که این دگرسانی‌ها از اکسید آهن و رسی تشکیل شده‌اند.

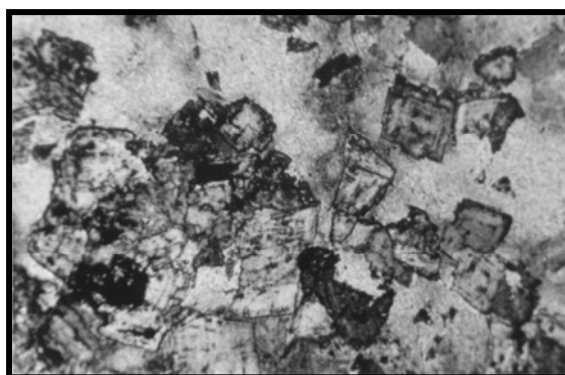
نمونه) نیز مؤید حضور این دگرسانی در منطقه می‌باشد. مونتموریونیت و کلریت از فازهای اصلی این آنالیزها هستند. سیلیس فاز اصلی اکثر نمونه‌ها را تشکیل می‌دهد و بیشتر به صورت آثار سیلیسی شدن در مقاطع نازک مشاهده می‌شود. در فواصل بیشتر از معدن و نزدیک‌تر به توده نفوذی رگه‌های سیلیسی که اکثراً به صورت بلورهای خودشکل هستند، حضور دارند (شکل ۱۱). دگرسانی سریسیتی نیز در مقاطع نازک مشاهده شده است (شکل ۱۲). حضور رومبوبئدرهای دولومیتی و نیز اکسیدهای آهن نیز در توف‌های منطقه دیده می‌شود (شکل ۱۳).



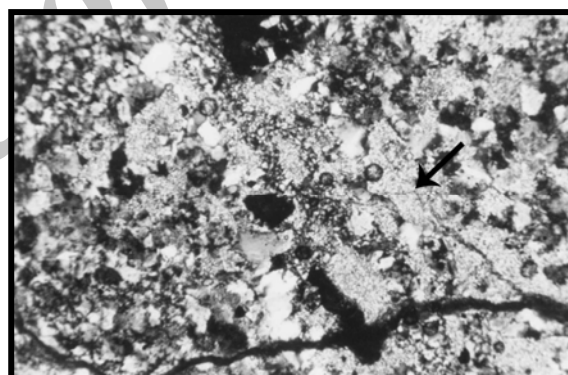
شکل ۱۱- آثار سیلیسی شدن با بافت شانه‌ای،  $\times 33$ .



آلتراسیون آرژیلیک



شکل ۱۳- بلورهای رومبوبئدر دولومیت در یک توف،  $\times 33$ .



شکل ۱۲- دگرسانی سریسیتی،  $\times 33$ .

### کانی‌سازی

این معدن دارای ۸ تونل و دو ترانشه (در افق‌های ۲۰۰۰، ۲۰۲۰، ۲۰۴۵ و ۲۰۶۰ متری می‌باشد) (شکل‌های ۱۴ و ۱۵) اکتشافی. کانی‌سازی اصلی معدن گالن و اسفالریت است. ضخامت رگه‌های گالن از ۱۰ تا ۹۰ سانتی‌متر در تغییر می‌باشد. فراوان ترین رگه‌های معدنی منطبق با شکستگی‌های با روند شرقی - غربی هستند. وجود این رگه‌ها می‌تواند نشانی بر اپی‌ژنتیک بودن این کانسار باشد. در مورد ساز و کار تشکیل این معدن می‌توان چنین درنظر گرفت که نفوذ توده‌ها در منطقه‌ای گسله باعث حرکت آب‌های هیدروترمال در این مجاری و نیز فعال شدن آب‌های جوی شده و در نهایت محلول‌های کانه‌دار تحت شرایط مناسب Eh و Ph باعث شکل‌گیری این پتانسیل‌ها می‌شوند.

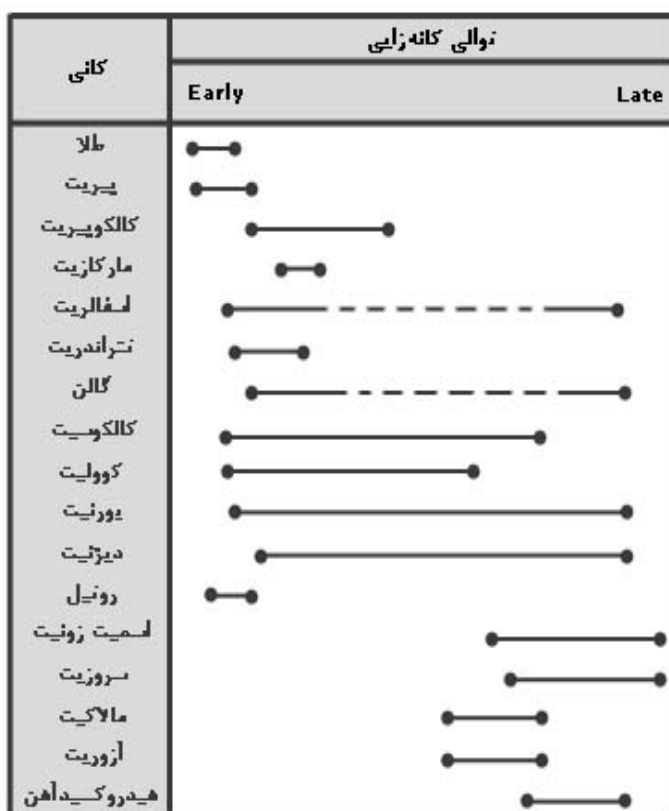
با مطالعه مقاطع نازک و صیقلی و درنظر گرفتن ترتیب کانی سازی، کانی های هیپوژن پیریت، کالکوپیریت، مارکازیت، اسفالریت و گالن؛ و در بخش اکسیدان کانی های مالاکیت، آزوریت، روتیل، کالکوسیت، کوولیت، بورنیت، دیژنیت شناسایی شدند.

طلا به صورت آزاد در چند نمونه صیقلی مشاهده شده (شکل ۱۶) و در نمونه هایی که میزان آرسنیک بالا دارند میزان طلا تا  $918 \text{ ppb}$  با روش جذب اتمی اندازه گیری شده است.

کانی گالن در اندازه های ۵ تا  $50 \text{ میکرون}$  و از ۲ تا  $50 \text{ درصد}$  نمونه ها را به خود اختصاص داده است. اغلب به صورت پرکننده فضاهای خالی رگه و رگچه ها و افshan و در نمونه دستی به صورت توده ای دیده می شوند (شکل ۱۷). در اکثر نمونه های صیقلی مطالعه شده، تتراندربیت به صورت انکلوژیون درون گالن دیده می شود. با توجه به حضور این کانی که از کانی های نقره دار می باشد، میزان نقره در بعضی نمونه ها به روش جذب اتمی اندازه گیری شد که بین  $93 \text{ ppm}$  تا  $167 \text{ ppm}$  متغیر است. اسفالریت نیز در اندازه های  $10 \text{ میکرون}$  تا یک میلی متر و تا حدود  $50 \text{ درصد}$  در نمونه ها مشاهده شده است.

پیریت و کالکوپیریت که در نمونه های دستی به میزان کمتری مشاهده می شوند، در اندازه های ۵ تا  $300 \text{ میکرون}$  و از ۲ تا  $40 \text{ درصد}$  مشاهده می شوند. در اکثر موارد از حاشیه به اکسیدهای آهن و کانی های ثانویه مس دار تبدیل شده اند.

نتایج حاصل از این مطالعات به صورت توالی پاراژنی کانی ها در جدول شماره ۳ نشان داده شده است.



جدول ۳- توالی پاراژنیکی در معدن باریک آب



شکل ۱۴- نمایی از تونل‌های صفر، یک و دو، نگاه به سمت غرب



شکل ۱۵- نمایی از تونل‌های چهار، پنج، شش و هفت و ترانشه‌ها، نگاه به سمت



شکل ۱۷- تغییر جهت و شکل قالب‌های گالن ناشی  
از واتنش،  $\times 100$



$\times ( )$

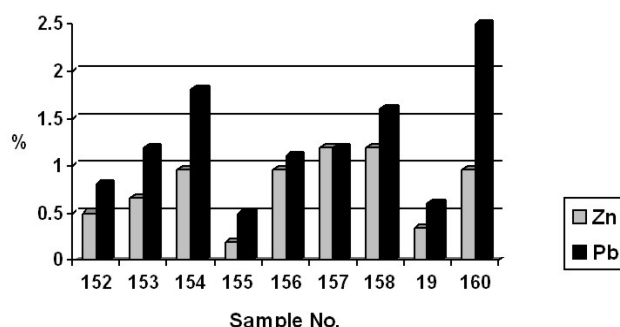
## عيار

برای مطالعات ژئوشیمیایی ۲۰ نمونه به روش آزمایش فلورورسانس اشعه ایکس ۳۲ عنصری و ۲۰۰ نمونه دو عنصری مورد بررسی قرار گرفته‌اند که در جدول ۴ آورده شده است.

جدول ۴- میزان متوسط سرب و روی در نمونه‌های تجزیه شده منطقه

شماره توپل	روی (%)	سرب (%)	شماره توپل	روی (%)	سرب (%)	شماره توپل
۴	۱/۱۱	۱/۷۲	روش دو عنصری			
۵	۰/۱۱	۰/۲۴	۱/۲۱	۰/۸۶	۰	
۶	۰/۹۵	۰/۸۱	۴/۷۷	۲/۶۵	۱	
۷	۰/۸۱	۲/۱۱	۰/۷۷	۱/۲۵	۲	
روش ۳۲ عنصری	۴/۱۲	۷/۷۱	۰/۲۹	۰/۳۵	۳	

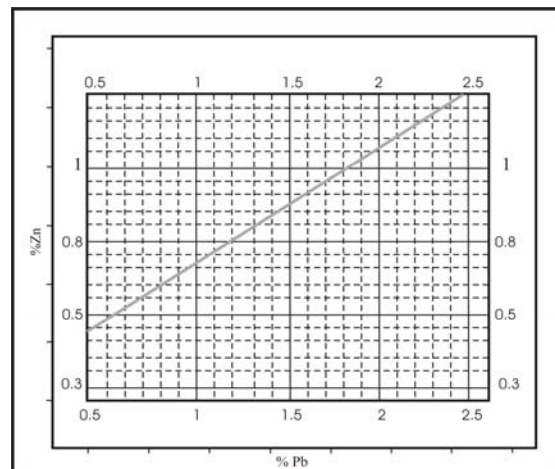
توبنل شماره ۲



در بررسی ارتباط ژئوشیمیایی دو عنصر سرب و روی، همبستگی مثبت این دو عنصر در نمودارهای آماری مربوط به هر توبنل مشاهده گردید. به عنوان نمونه یکسری از این نمودارها ارائه می‌گردد (شکل‌های ۱۸ و ۱۹).

Correlations		
Pb.	Pearson Correlation	1.000
	Sig. (1-tailed)	.
	N	9
Zn.	Pearson Correlation	.586*
	Sig. (1-tailed)	.048
	N	9

\*. Correlation is significant at the 0.05 level (1-tailed).



Spss

## مدل توصیفی

جدول ۵- مقایسه معدن باریک آب با مدل توصیفی

معدن باریک آب <sup>(۱)</sup>	مدل توصیفی تیپ رگه‌ای پلی متال <sup>(۲)</sup>	
نفوذی آکالان آتشنشانی آندزیت تا ریولیت دانه ریز تا متوسط	نفوذی‌های کالک آکالان تا آکالان آتشنشانی‌ها با ترکیب آندزیت تا ریولیت اکی گرانولار دانه ریز تا متوسط پورفیروآفاتیک	سنگ درونگیر ساخت و بافت
سنوزوئیک هر دو مورد	مزوزوئیک - سنوزوئیک برش‌ها و شکستگی‌های نزدیک سطح هاله‌های گرمابی وابسته به گنبدهای نفوذی کمریندهای پلوتونیکی فعال در جزایر قوسی حاشیه قاره‌ای	محیط کانسار دامنه سن محیط تشکیل خاستگاه تکتونیکی کانی شناسی
مربوط به مناطق کششی اکثر موارد مشاهده شد.	طلای آزاد همراه با پیریت، اسفالریت، کالکپیریت، گالن، آرسنپیریت، ترائدریت، تنانیت، سولفات‌های نقره، در رگه‌های کوارتز کلریت، کلسیت توده‌ای، رگه‌های چند فازی با ساختار شانه‌ای	توصیف کانسار ساخت و بافت
هردو مورد	پروپیلیتی عریض، مناطق آرژیلیتی، سریسیتی کم عرض، سیلیسیفیکاسیون سنگ‌های کربناته، تشکیل ژاپرولئید	دگرسانی
اکثر موارد دیده شد	توسعه زون‌های با نفوذپذیری، همبrij توode نفوذی، گسل‌های مقاطع پوسته‌های نازکی از اکسید منگنز و آهن، کربنات‌های سرب و روی و سولفات سرب	عوامل کنترل کننده
مطابقت دارد	آنومالی عناصر Ag, Au, Pb, Cu, Zn Ba, Sb, B, Ge, Bi, Te, F Mn.	راهنمای اکتشافی هوازدگی
موارد مشاهده شد آنومالی Pb, Zn, Cu و Ag, Au و سایر عناصر نیز مشاهده شده‌اند	آنومالی عناصر Ag, Au, Pb, Cu, Zn Ba, Sb, B, Ge, Bi, Te, F Mn.	راهنمایی ژئوشیمیابی

نام مترادف : رگه‌های سرب و روی و نقره در نفوذی‌های فلزیک

تعریف : تمرکز طلا، نقره و کانه‌های سولفیدی فلزات پایه در رگه‌های کوارتز-کربنات مرتبط با توده‌های نیمه عمیق در طبقات رسوبی و دگرگونی

با مقایسه شرایط و نتایج به دست آمده از مطالعات در معدن باریک آب و مدل توصیفی کانسارهای تیپ رگه‌ای پلی متال،<sup>(۲)</sup> شباهت‌های زیادی این معدن با مدل توصیفی نشان می‌دهد که در غالب جدول شماره ۵ آورده شده است.<sup>(۱)</sup>

معدن سرب و روی باریک‌آب در شمال شرق شهرستان ابهر واقع شده است. سنگ‌های آتش‌شانی تا نیمه عمیق از جنس ریوداسیت، آندزیت و تراکی آندزیت با سن ائوسن میزبان کانی‌سازی این معدن می‌باشد. کانی‌سازی سرب و روی از نوع گالن و اسفالریت در امتداد درز و شکاف‌هایی که منطبق با روند اصلی ساختاری منطقه (شرقی - غربی) می‌باشد صورت گرفته است. درصد سرب و روی به ترتیب به طور متوسط ۷/۷ و ۴/۱۲ بوده و نیز متوسط میزان طلا و نقره به ترتیب ۹۱۸ ppm و ۱۶۳ ppm بوده که ارزش اقتصادی معدن را بیشتر نموده‌اند. از شواهد کانی‌سازی و ساختمانی منطقه چنین به نظر می‌رسد که بعد از نفوذ تووده گرانیتی - گرانوودیوریتی در نزدیکی منطقه، با فعالیت محلول‌های کانه‌ساز و حمل فلزات توسط کمپلکس‌ها و با پایدار شدن شرایط ژئوشیمیایی در منطقه کانی‌سازی رخ داده است. این فعالیت‌های گرمابی دگرسانی‌هایی را در منطقه به وجود آورده‌اند که از جمله دگرسانی‌های آرژیلیک، سرپیستی و سیلیسی می‌باشند. با مقایسه شرایط و نتایج به دست آمده، معدن باریک‌آب با مدل توصیفی کانسارهای تیپ رگه‌ای شباهت زیادی دارد.

### References:

1. Ajayebi, K., *Ms. Thesis: the Study of Polymetal Deposits around the Alvand Intrusion with Especial View to Barik Ab Mine*, Azad Islamic University of Tehran North Branch, Tehran (2002).
2. Peyrovan, H., *Ms. Thesis: the Study of Petrography Petrology and Geochemistry of Intrusive Rocks of North of Abhar*, Tarbiat moalem University, Tehran (1992).
3. Jafari, M., *Ph.D thesis: Economic Geology of Abhar area by Using Geology Geochemistry Geophisic and Remote Sensing Data*, Azad Islamic University, Tehran (2000).
4. Cox, K., G., Bell, J.D., and Pankhurst, R., J., *The Interpretation of Igneous Rocks*, George Allen and Unwin, London (1979).
5. Pearce, J.A., and Cann, J.R., *E. P. Sci. L.*, **19**, 290 (1973).
6. Hasani Pak, A., and Shojaat, B., *Modelling of Metalic and Nonmetallic Ore Deposits and Its Exploratory Application*, Tehran university, Iran (2000).